

Министерство общего и профессионального образования

Российской Федерации

Научно-исследовательский радиофизический институт

П р е п р и н т N 439

ЗАХОДНЫЙ ЭФФЕКТ В ВАРИАЦИЯХ СОБСТВЕННЫХ
ЧАСТОТ ИОНОСФЕРНОГО АЛЬВЕНОВСКОГО
РЕЗОНАТОРА.

Е. Н. Ермакова

В. Ю Трахтенгерц

П. П. Беляев

Н. И. Белова

Нижний Новгород, 1997

Ермакова Е. Н., Трахтенгерц В. Ю., Беляев П. П.,
Белова Н. И.

ЗАХОДНЫЙ ЭФФЕКТ В ВАРИАЦИЯХ СОБСТВЕННЫХ
ЧАСТОТ ИОНОСФЕРНОГО АЛЬВЕНОВСКОГО
РЕЗОНАТОРА.

Препринт N 439

– Нижний Новгород: НИРФИ, 1997. – 12 с.

УДК 550.383

Предложен и апробирован метод исследования параметров волновых возмущений в ионосфере, основанный на регистрации вариаций резонансных частот ΔF ионосферного альвеновского резонатора. Амплитуда этих вариаций существенно возрастает после прохождения вечернего терминатора. Характерные периоды этих флюктуаций колеблются в пределах 30–60 мин., а их относительная амплитуда составляет (2–5)%. Вариации ΔF связываются с генерацией на высотах ≥ 200 км модифицированных внутренних гравитационных волн (ВГВ), в которых присутствует и возмущение заряженной компоненты ионосферы.

1. ВВЕДЕНИЕ

Экспериментальные исследования волновых возмущений на высотах 150–300 км основаны, как правило, на измерениях вариаций электронной концентрации различными методами: измерение действующих высот, измерение $N(h)$ профилей с помощью ионозондов, применение метода некогерентного рассеяния радиоволн, допплеровский метод радиозондирования. С помощью указанных методов накоплен большой фактический материал о суточных и сезонных зависимостях появляемости ВГВ на высотах Е и F-слоев ионосферы, преобладающих периодах и направлениях их перемещений[1]. Наиболее регулярно наблюдаются перемещающиеся ионосферные возмущения (ПИВ) с периодами от 10 мин. до 1 часа, имеющие горизонтальные масштабы 100 – 3500 км, вертикальные масштабы 50–200 км, скорости горизонтального перемещения 150–200 м/с [2-4].

Источниками ВГВ, порождающими ПИВ, могут быть грозы, ураганы, струйные течения, землетрясения и.т.д.. Наиболее принята точка зрения, согласно которой ВГВ, которые приводят к образованию ПИВ в ионосфере, генерируются в нижних, более плотных слоях ионосферы[1]. Однако есть источники, например, солнечный терминатор, приводящие к эффективной генерации ВГВ и ПИВ в ионосфере непосредственно на высотах F-слоя

ионосферы и выше[5]. Характерные масштабы ВГВ при этом: горизонтальные ~ 1000 км, вертикальные ≥ 100 км, периоды ≥ 30 мин.

В настоящей работе развивается метод обнаружения волновых возмущений (ВВ) на высотах 200–400 км, основанный на регистрации вариаций собственных частот ионосферного альвеновского резонатора.

Ионосферный Альвеновский Резонатор (ИАР) - был впервые экспериментально обнаружен в 1985 г. при исследовании спектра фонового приземного электромагнитного шума в диапазоне частот 0.1–20 Гц [6]. Центральная часть ИАР находится на максимум F-слоя, а верхняя граница обусловлена нарушением геометрической оптики для альвеновских волн на спаде концентрации ионосферной плазмы выше максимума F-слоя. Нижняя граница ИАР служит в то же время верхней стенкой волновода Земля-ионосфера. Будучи резонатором для альвеновских волн, эта область ионосферы является одновременно волноводом для быстрых магнитозвуковых волн. Внутри ионосферы на резонансных частотах ИАР $f_k \sim kf_0$, где f_0 -фундаментальная частота альвеновского резонатора, $k = 1, 2, 3, \dots$, энергия альвеновских волн возрастает. Как оказалось, наличие резонансных условий для альвеновских волн в ионосфере приводит к формированию Резонансной Структуры Спектра (РСС) электромагнитных волн на частотах 0.1–10 Гц, возбуждаемых разрядами молний в полости Земля-ионосфера (высоты 0–100 км). РСС проявляется в значительной гармонической модуляции спектральной интенсивности приземного электромагнитного шума с характерным частотным масштабом $\Delta F_{k,k+1} = f_{k+1} - f_k$. Известно[4] и более подробно обсуждается ниже, что ΔF определяется величиной электронной концентрации N_e вблизи максимума F-слоя ионосферы. Таким образом, исследования временных вариаций ΔF позволяют судить о вариациях электронной плотности N_e на высотах 200–400 км, которые при определенных условиях могут быть связаны с распространением ВГВ на этих высотах.

2. ТЕХНИКА И МЕТОДИКА ИЗМЕРЕНИЙ Экспериментальные исследования РСС, результаты которых представлены в данном препринте, проводились на среднеширотном низкочастотном приемном пункте, который был создан для точных измерений в УНЧ ($f \sim 0,01\text{--}10$ Гц) и СНЧ-ОНЧ ($f \sim 10^{-2}\text{--}10^2$ кГц) диапазонах. Этот пункт расположен примерно в 100 км к востоку от Нижнего Новгорода (географическая широта - 57° с.ш., долгота - 45° в.д., $L=2,65$) и имеет достаточно низкий уровень индустриальных помех. Пункт предназначен для измерений как естественных излучений, так и искусственных низкочастотных сигналов, генерируемых нагревным стендом "Сура", расположенным в 30 км от приемного пункта.

Измерительное оборудование пункта:

1. Базовый индукционный двухкомпонентный широкополосный экранированный магнитометр с чувствительностью $0,05 \text{ пТл}/\sqrt{\text{Гц}}$ на частоте 1 Гц (для измерения северо-южной $H_{C-\text{ю}}$ и восточно-западной $H_{B-\text{з}}$ компоненты магнитного поля.)
2. Наземная заглубленная экранированная петля-рамка радиусом 250 м; число витков $n = 18$ (вертикальная компонента магнитного поля H_z).
3. два ортогональных датчика теллурических токов, для измерения горизонтальных электрических полей ($E_{C-\text{ю}}, E_{B-\text{з}}$).
4. Емкостный датчик вертикального электрического поля E_z .
5. Набор рамочных антенн СНЧ-ОНЧ диапазонов ($H_{C-\text{ю}}, H_{B-\text{з}}$)
6. Портативный двухкомпонентный индукционный магнитометр с чувствительностью $0,1 \text{ пТл}/\sqrt{\text{Гц}}$ на частоте 1 Гц.
7. Многоканальный комплекс аналого-цифровой анализирующей и регистрирующей аппаратуры.
8. Персональный компьютер IBM AT 486 DX 50 HDD 520 с многоканальным АЦП (200 кГц) и стримером с емкостью ленты 120 Мбт Jumbo-120. Программное обеспечение для спектрального, корреляционного и когерентного анализов входных сигналов.

Методика обработки данных заключалась в усреднении неза-

висимых спектральных реализаций с необходимым для выделения структуры разрешением по частоте $\sim \Delta f = 0,1$ Гц. Как правило, усреднение проводилось для числа реализаций $n = 64 \div 128$ (анализаторы спектра СКЧ-72, $\tau = (10 \div 20)$ мин., τ – время усреднения), что позволяет понизить дисперсию флюктуаций огибающей спектра до $\sim 1/\sqrt{n} \simeq (10 \div 15)\%$ и четко регистрировать наблюдаемый эффект.

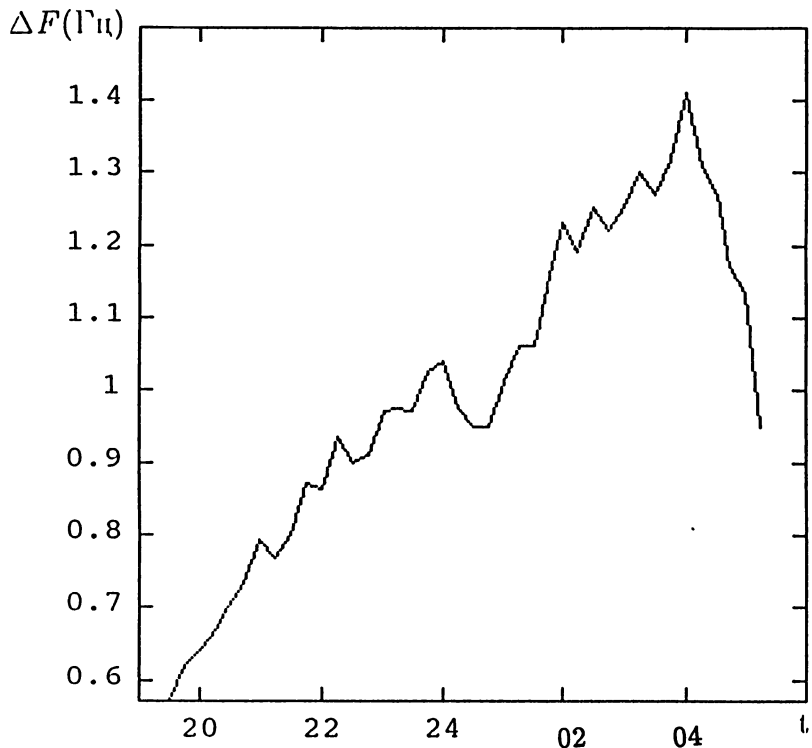


рис.1 Суточный ход резонансной частоты ΔF низкочастотного электромагнитного шума, 4-5 апреля 1995 г.

3. РЕЗУЛЬТАТЫ НАБЛЮДЕНИЙ В настоящей работе использовались данные многолетнего ряда наблюдений РСС в средних широтах, проведенных в с 1985 г. по 1995 г. для двух ортогональных компонент магнитного поля $H_{C-Ю}(H)$ и $H_{B-З}(D)$. Анализ

результатов проводился методом глазомерной оценки усредненных спектральных форм шума, регистрация которых при выводе данных на двухкоординатный графопостроитель проводилась с интервалом времени $10 \div 20$ мин.

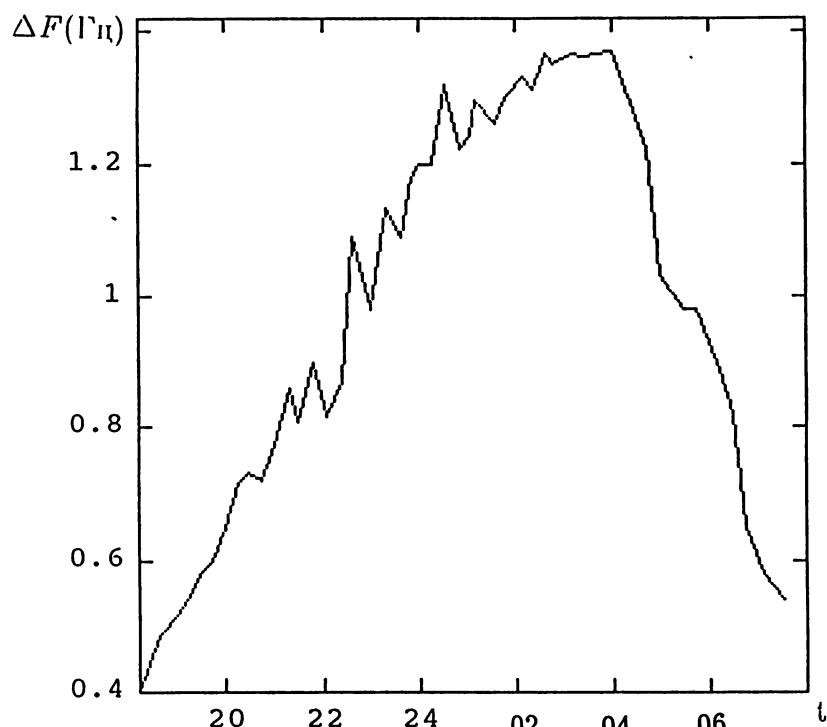


рис.2 Суточный ход резонансной частоты ΔF низкочастотного электромагнитного шума, 3-4 октября 1993 г.

При этом считалось, что РСС присутствует, если наблюдается явная гармоническая форма модуляции спектра шума.

На рис. 1 и 2 приведены временные зависимости резонансной частоты атмосферного шумового фона для периодов наблюдений 4-5 апреля 1995 г.((4-5).04.95) и 3-4 октября 1993г.((3-4).10.93). На графиках отчетливо видны вариации частоты ΔF , которые

появляются в заходные часы. Для установления факта существования волновых возмущений был использован спектральный метод анализа данных.

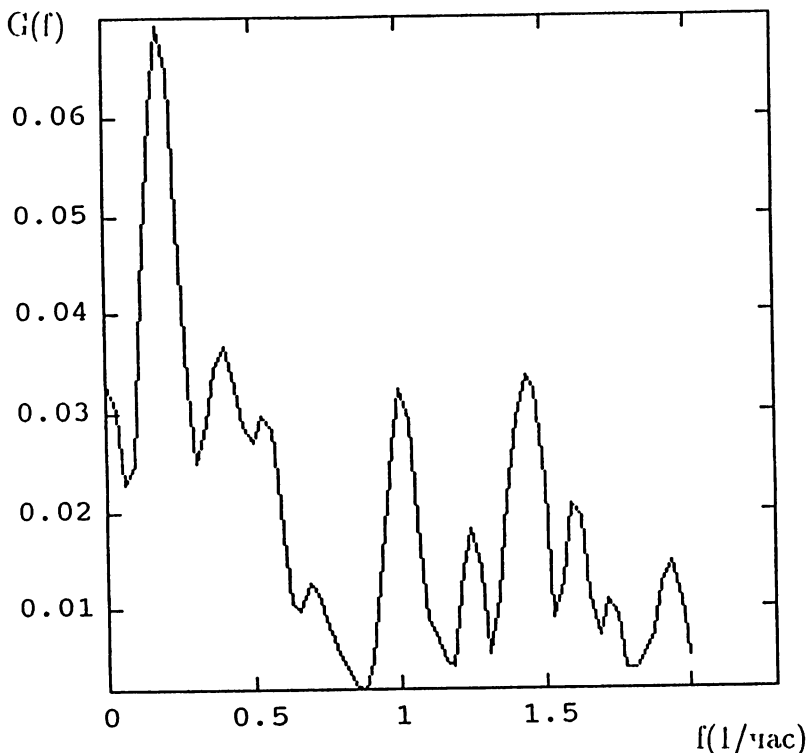


рис.3 Спектр амплитуды вариаций ΔF для периода наблюдений (4-5).04.95

На рис.3 приведен спектр амплитуды вариаций ΔF для периода наблюдений (4-5).04.95. Перед спектральной обработкой устраивался низкочастотный тренд с периодами ≥ 8 час. Мелкопериодным вариациям, которые хорошо видны на рис.1, соответствуют спектральные максимумы с периодами ~ 1 часа и 40 мин. Относительная амплитуда этих вариаций ΔF колеблется в пределах (2-5)%.

4. ОБСУЖДЕНИЕ Как показано в [7,8], наиболее вероятной причиной формирования резонансной структуры является влияние резонансных свойств ионосферы (Ионосферного Альвеновского Резонатора) на грозовой электромагнитный шум. ИАР существует благодаря наличию в ионосфере двух областей (по высоте) нарушения геометрической оптики для альвеновских волн в диапазоне частот $\sim 0.1\text{--}10$ Гц: в нижней ионосфере (высоты ~ 100 км) и в области выше максимума F-слоя на спаде альвеновского показателя преломления (высоты $\sim 1000\text{--}2000$ км). Спектр собственных частот ИАР довольно сложно выражается через параметры E и F-слоев ионосферы. Анализ теоретических исследований, проведенный в работах[11,12] позволит нам воспользоваться упрощенной формулой для собственных частот ИАР, которая будет приведена ниже. В этих работах установлено, что солнечный терминатор может служить источником волновых возмущений как на высотах E-слоя ионосферы, так и на высотах F-слоя и выше. Волновые возмущения, генерируемые на высотах ~ 120 км имеют горизонтальные масштабы $L_x \sim 100 - 150$ км, вертикальные масштабы $L_z \sim 15 - 20$ км, периоды $T \sim 5$ мин.[11]. В области F-слоя ионосферы на высотах ≥ 200 км терминатор может генерировать внутренние гравитационные волны с $L_x \sim 1000$ км и $T \geq 30$ мин., кроме того на высотах 300–600 км могут генерироваться модифицированные ВГВ ($L_z \sim 200$ км), характер которых определяется не только нейтральным ветром, создаваемым терминатором (как это происходит на высотах E-слоя), но и магнитоионным торможением[12]. Поэтому вариации ΔF с периодами $T \sim 1$ часа и 40 мин. скорее всего могут быть связаны с ВГВ, генерируемыми на высотах F-слоя ионосферы и выше с характерными $L_z \geq 100$ км. В этом случае (генерация на высотах F-слоя, масштабы возмущений сравнимы с эффективной толщиной F-слоя) можно пользоваться упрощенной формулой для собственных частот ИАР:

$$f_k = k \frac{c}{2n_a L} \quad (1)$$

где c – скорость света, L – эффективная толщина F-слоя, n_a – альвеновский показатель преломления на высоте максимума F-слоя. В свою очередь n_a выражается следующей формулой:

$$n_a = \frac{c\sqrt{4\pi\rho}}{H_0} \sim N_e^{\frac{1}{2}} \quad (2)$$

где H_0 – напряженность земного магнитного поля, ρ – плотность плазмы, N_e – электронная концентрация. Как следует из (1) и (2) вариации ΔF могут быть связаны с вариациями электронной плотности в F-слое ионосферы. Поскольку вариации ΔF появляются в заходные часы, мы можем говорить о влиянии солнечного терминатора на волновые возмущения в ионосфере, а именно рассматривать терминатор, как источник для ВГВ, приводящих к возмущениям электронной концентрации. Экспериментальные исследования волновых возмущений, возникающих во время прохождения солнечного терминатора, проводились и раньше ионограммным и допплеровским методами[9,10]. При ионограммном методе существенное увеличение амплитуды возмущений наблюдается редко, так как чувствительность этого метода мала. В то же время допплеровские записи часто показывают увеличение амплитуды колебаний N_e на периодах ~ 30 мин.[10].

Как следует из выше сказанного, ВГВ, имеющими $L_z > 100$ км и $T \geq 30$ мин. источником которых является солнечный терминатор, могут приводить к вариациям ΔF , полученным при обработке спектров низкочастотного электромагнитного шума, т.е. регистрироваться методом ИАР, при этом область генерации этих волн находится на высотах F-слоя и выше. Как следует из (1) и (2) относительная амплитуда вариаций $\Delta F - \delta(\Delta F) = \Delta N_e / 2N_e$. Таким образом для генерации вариаций ΔF с относительной амплитудой (2-5)% необходимы достаточно интенсивные ВГВ, которые приводят к возмущениям электронной плотности с $\Delta N_e / N_e \sim (5 - 10)\%$ Волновые возмущения с такими $\Delta N_e / N_e$ наблюдаются достаточно часто[1]. Оценим пространственные масштабы ВГВ, которые могут приводить к вариациям

ΔF с наблюдаемыми периодами ~ 40 мин. и 1 часа после прохождения солнечного терминатора, исходя из следующих простых соображений – дисперсионное соотношение для ВГВ, генерируемых терминатором имеет следующий вид: $\omega = k_x v_0$, где v_0 – скорость движения терминатора на высоте F-слоя ионосферы(h); $v_0 = \omega_3(R_3 + h)$, $\omega/\omega_B = k_x/k_z = \lambda_z/\lambda_x$, где ω_B –частота Бранта-Ваясля, R_3 – радиус Земли, ω_3 – частота вращения Земли. Для наблюдаемых периодов отношение $\omega/\omega_B \sim 0,25$ и $0,15$, отсюда мы получаем следующие значения $L_x \sim 1000$ км и 1600 км, $L_z \sim 250$ км и 240 км. Значения L_x и L_z получились завышенными из-за грубой оценки v_0 . Более точные расчеты v_0 приведены в [5].

В настоящем препринте приведены первые данные по регистрации вариаций собственных частот атмосферного шумового фона. В дальнейшем необходимо провести статистический анализ полученных данных с целью выявления, например, зависимости появляемости вариаций ΔF от сезона (временные периоды, далекие и близкие к равноденствию), провести сравнение описанного выше метода ИАР с данными о присутствии ВГВ в ионосфере, полученными другими методами за те же периоды наблюдений.

Исследования были проведены при поддержке РФФИ в рамках Гранта N 96-02-18632, N 97-02-17298.

ЛИТЕРАТУРА 1. Дробжев В.И., Куделин Г.М., Нургожин В.И. и др., Волновые возмущения в ионосфере, 1975, Алма-Ата, "Наука" с.7-17.

2. Oliver W.L., Fukao S., Sato M. et. al., Middle and upper atmosphere radar observations of the dispersion relation for ionospheric gravity waves, J. Geophys. Res., v.100, N A12, p. 23,763–23,768, 1995.

3. Bristow W.A. and Greenwald R.A., Multiradar observations of medium – scale acoustic gravity waves using the Super Dual Auroral Radar Network, J. Geophys. Res., v.101, N A11, p. 24,499–24,511, 1996.

4. Saksman E., Nygren T., Markkanen M., Ionospheric structures

invisible in satellite radiotomography, Radio Sci., v.32, N 2, p. 605–616, 1997.

5. Сомсиков В.М., Солнечный терминатор и динамика атмосферы, Алма-Ата, "Наука", 1983.

6. Беляев П. П., Поляков С. В., Рапопорт В. О., Трахтенгерц В. Ю., Обнаружение резонансной структуры спектра атмосферного электромагнитного шумового фона в диапазоне короткопериодных геомагнитных пульсаций, ДАН СССР, 1987, 297, с. 840-843.

7. Beljaev P. P., Poljakov S. V., Rapoport V. O., Trakhtengerts V. Yu., The ionospheric Alfen resonator, *J. Atm. Terr. Phys.*, 1990, 52, p. 781–787.

8. Беляев П. П., Поляков С. В., Рапопорт В. О., Трахтенгерц В. Ю., Теория формирования резонансной структуры атмосферного электромагнитного шумового фона в диапазоне короткопериодных геомагнитных пульсаций, *Изв. вузов, Радиофизика*, 1989, 32, с.802.

9. Авакян С.В., Дробжев В.И., Краснов В.М., Волны и излучения верхней атмосферы, Алма-Ата, 1981, с.168.

10. Авакян С.В., Дробжев В.И., Краснов В.М., О влиянии терминатора на волновые возмущения в ионосфере, Геомагнетизм и аэрономия, 1979, т.19, с.568–570.

11. Сомсиков В.М., Троицкий Б.В., Генерация возмущений в атмосфере при прохождении через нее солнечного терминатора, Геомагнетизм и аэрономия, 1975, т. 15, с. 856–860.

12. Водянников В.В., Сомсиков В.М., Волны, генерируемые в верхней ионосфере стационарным движущимся источником, Изв. вузов Радиофизика, 1982, т.25, с.855–859.